

III - 11 粘土の圧縮性について

京都大学防災研究所 正員。柴田 徹
京都大学大学院 学生員 梶原 靖文

粘土の応力と変形率との関係を調べるために、1) 平内有効主応力を一定に保ちた排水圧縮試験と、2) 側圧を一定に保ちた非排水圧縮試験を実施した。1)の試験はうるされに結果の一節は既に報告¹⁾²⁾したので、ここではその後³⁾のデータをまとめることにする。

1. 平均有効主応力一定の圧縮試験

セントラルシーダーを用いて生じる粘土の体積変化(ダイラタンシー)を調べるために、平均有効主応力 $\sigma_m' = (\sigma_1' + 2\sigma_3')/3$ を一定に保ちて行なった試験に適して、N.G.I.型三軸試験機を用いて是荷重式の排水圧縮試験を実施した。すなわち尼崎粘土の乱れなし試料について、その先行圧縮応力よりも大きめ等方圧力 σ_{mc}' で圧密した後、より σ_{mc}' の値を変えることなく ($\sigma_{mc}' = \sigma_m'$)、主応力差 ($\sigma_1' - \sigma_3'$) を加えると同時に最小主応力 σ_3' を減少させ、paper drain を併用して供試体から排水を許しながら破壊まで段階的に ($\sigma_1' - \sigma_3'$) を増加した。

$\sigma_m' = 2.73$ 、 4.50 kg/cm^2 の場合の $(\sigma_1' - \sigma_3')/\sigma_{mc}' \sim \epsilon_1$ および体積変化 $\Delta V_d/V_i \sim \epsilon_1$ 関係をプロットすると図-1のようになる。ただし ϵ_1 は各荷重段階において供試体より排水がとまつたとき(約二週間経過後)の軸方向ヒズミである。この図よりわかるところ、i) 応力 $(\sigma_1' - \sigma_3') \sim \epsilon_1$ 関係は σ_m' の値によらず異なることを示すが、図示のように $(\sigma_1' - \sigma_3')$ を σ_{mc}' で割った値で整理すれば σ_{mc}' とは無関係に(すなわち含水比とは無関係に)一つの曲線であらわせる。なおこの $(\sigma_1' - \sigma_3')/\sigma_{mc}' \sim \epsilon_1$ 関係を両対数紙上にプロットすると、上限降伏値に相当する応力 $\sigma_u' = 0.68 \sigma_{mc}'$ 、ヒズミ $\epsilon_u = 3.5\%$ が求められる(図省略)。ii) $\Delta V_d/V_i \sim \epsilon_1$ 関係も σ_{mc}' の値によらず一つの曲線であらわせる。

図-2 は $\Delta V_d/V_i \sim (\sigma_1' - \sigma_3')/\sigma_{mc}'$ 関係を示したもので、これによれば粘土のダイラタンシーはセンサル開始時の

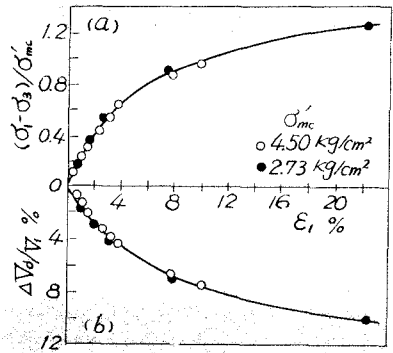


図-1

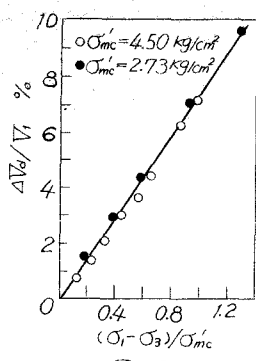


図-2

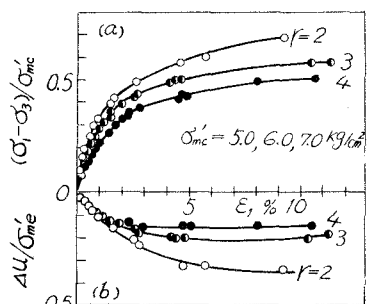


図-3

含水比と無間隙比 $(\sigma_i - \sigma_3)/\sigma'_{mc}$ は
よし、こ一義的にきまり、両者は比例関係にあることがわかる。

2. 側圧一定の圧縮試験

是荷重式の非排水試験（供試体底面に間ゲキ水圧測定）により、過圧密比 r ($r = \text{圧密圧力 } \sigma'_{mc} / \text{膨潤圧力 } \sigma'_{me}$) を種々に変えた過圧密粘土の圧縮性を調べた。各荷重段階における荷重増加量は $(\Delta\sigma_i - \Delta\sigma_3) = 0.5 \text{ kg/cm}^2$ とし、一段階における載荷時間は間ゲキ水圧が一定値に落ちつくまで約6時間ずつを要した。供試体は圧密型試料作成機により作ったものである。

図-3は結果をまとめたもので、圧密圧力 σ'_{mc} が 5, 6, 7 kg/cm^2 の場合に、それそれ $r=2, 3, 4$ に変えてある。図-3(a)は $(\sigma_i - \sigma_3)/\sigma'_{mc} \sim \varepsilon_1$ 関係であって、 σ'_{mc} のいかんにかかわらず過圧密比をパラメータとして、それそれ一つの曲線であろうことがわかる。また図-3(b)はせん断中に発生する間ゲキ水圧 Δu を膨潤圧力 σ'_{me} で割った値と ε_1 の関係であって、やはり σ'_{me} の値にかかわらず r によってきまることがわかる。なお σ'_{me} のかわりに σ'_{mc} で割った値で整理しても同様のことがわかる。また図-3の(2)の関係が成立すれば、ある一定の r における $(\sigma_i - \sigma_3)/2$ と $(\sigma'_i + \sigma'_3)/2$ あるいは σ'_{mc} , σ'_{me} 等との関係は r をパラメータとすれば原点を通る直線であろうことが説明できる。このうち図-4には $\varepsilon_1 = 10\%$ における $(\sigma_i - \sigma_3)/2$ と σ'_{me} の関係を示す。図-5は含水比 w と σ'_{mc} あるいは σ'_{me} の関係を半対数紙上にプロットしたものであり、正規圧密粘土の場合と同様、同じ r の差を結ぶと直線になる。また図-6は w と $\varepsilon_1 = 10\%$ における $(\sigma_i - \sigma_3)/2$ の関係を半対数紙上に描いたものであり、この場合も図-5と類似の傾向がみられる。図-5, 6において同じ r の差を結ぶ直線（図中実線）がそれそれ平行にあることから、図-4の関係が成立するこもまた証明できる。従って図-3以下に述べた種々の関係は互いに矛盾するものではないことが説明できる。

引用文献:

- 1) 柴田, 松尾裕: 粘土のテクノロジーについて, 第11回レオロジー討論会講演要旨集, 1962, pp. 50-56.
- 2) 柴田, 梅原: 粘土の体積変化について, 土木学会関西支部講演会概要集, 1962, pp. 87-88.

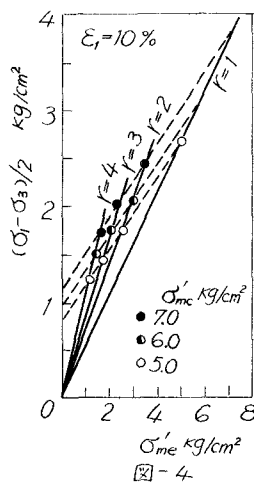


図-4

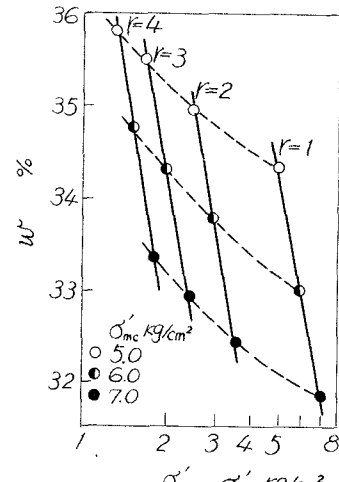


図-5

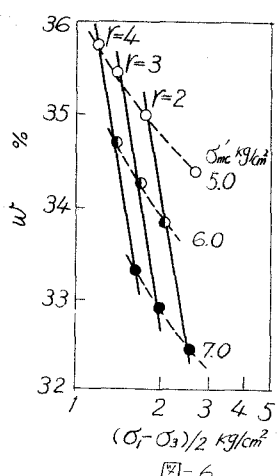


図-6